

EKSAMENSOPPGAVE

Fag: Elektronikk IRE 20012

Lærer/telefon: Per Thomas Huth/90955659

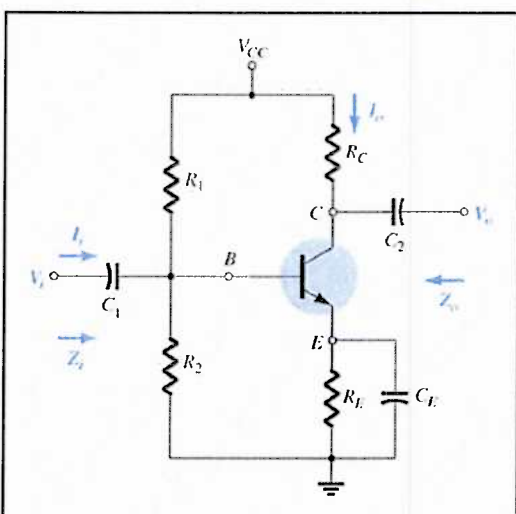
Grupper: 13ELE, 13ELEY	Dato: 12. desember 2014	Tid: 09.00 – 13.00
Antall oppgavesider: 5 (Inkludert forsiden)		Antall vedleggsider: 5
Sensurfrist: 19.1.2014		
Hjelpeemidler: Kalkulator. Skrivesaker. Personlig formelsamling på 10 ark. (Maskin eller håndskrevet.)		
KANDIDATEN MÅ SELV KONTROLLERE AT OPPGAVESETTET ER FULLSTENDIG		

Generelt for alle oppgaver gjelder at alle svar må begrunnes. Alle deloppgaver (a, b...) teller like mye.

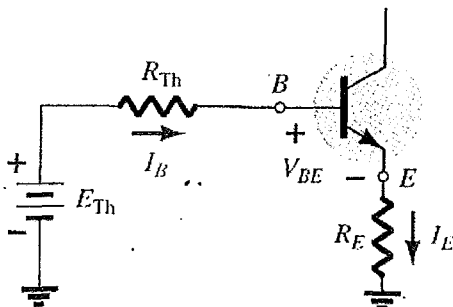
OPPGAVE – 1

- Hva er egenskapene til koplingen under?
- Transistoren som benyttes er en BC 547B. Finn typisk verdi for β . Forklar forskjellen på β som benyttes til vekselstrøm og likestrøm.

Bruk typisk verdi på β videre i oppgaven for både AC- og DC-beregninger.



- c) Figuren under viser en ekvivalent på inngangen for kretsen. Vis at:
 $R_{Th} = R_1 R_2 / (R_1 + R_2)$ og at $E_{Th} = V_{cc} R_2 / (R_1 + R_2)$. (NB vis det ut i fra å regne på kretsene.)

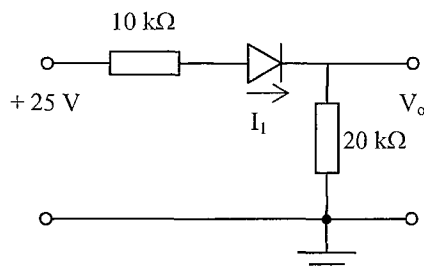


Data for kretsen er følgende: $V_{cc} = 15V$, $R_1 = 180 \text{ k}\Omega$, $R_2 = 33 \text{ k}\Omega$, $R_C = 6,8 \text{ k}\Omega$, $R_E = 1,5 \text{ k}\Omega$, $C_1 = 10 \mu\text{F}$, $r_o = 35 \text{ k}\Omega$. Fra EM likning er: $V_T = 25\text{mV}$ ved romtemperatur og $n = 1,3$.

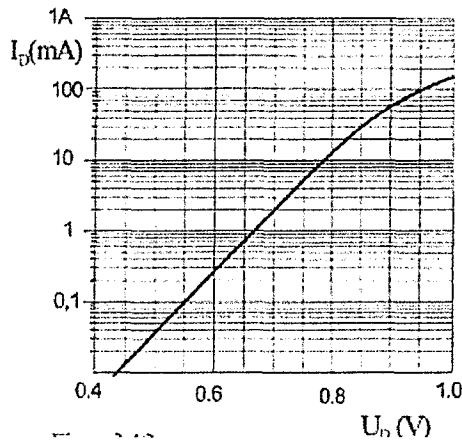
- d) Finn R_{Th} og E_{Th} .
- e) Finn I_{BO} , I_{CO} og V_{CEQ} .
- f) Tegn re - småsignalmodellen for hele kretsen. Ta hensyn til earlyeffekten.
- g) Finn inngangsmotstanden til forsterkeren sett fra signalkilden (V_i).
- h) Finn utgangsmotstanden til kretsen.
- i) Finn kretsens forsterkning med og uten last.
- j) Forklar hvordan earlyeffekten påvirker beregningene i h) og i).
- k) Finn grensefrekvensen på inngangen.
- l) Finn transferfunksjonen $H(s)$ for filteret på inngangen. Hva slags filter?
- m) Vi påtrykker et innsignal som er et sprang med høyde U_0 . Finn $U(s)$ og $U(t)$.
- n) Skisser forløpet for $U(t)$ når $U_0 = 5 \text{ V}$.
- o) Beregn falltiden til $U(t)$.

OPPGAVE – 2

- a) Finn I_1 og V_0 i figuren under ved hjelp av metoden med diodedropp.



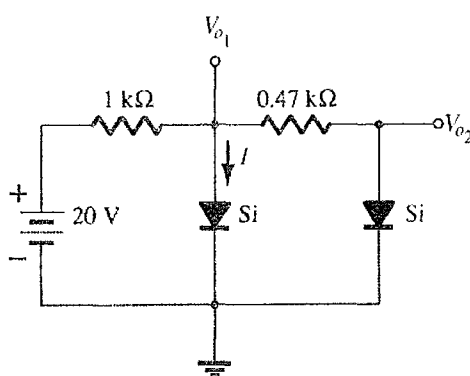
- b) Korriger beregningene ved hjelp av kurvebladet under.



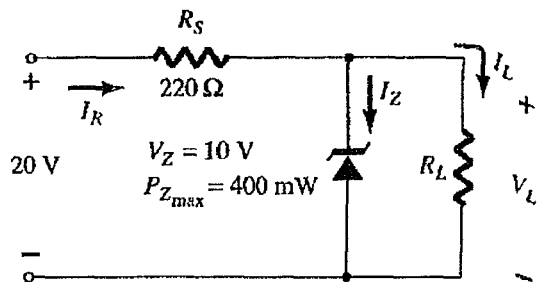
Kurvebladet over kan beskrives av Ebers Molls likning for dioder: $I_D = I_S \exp(u_D/(nV_T))$ hvor:

- I_D : Strømmen i dioden.
- I_S : Metningstrømmen.
- U_D : Spenningen over dioden
- V_T : Konstant som er 25mV ved romtemperatur.
- n: Kontant som er avhengig av dioden og fabrikasjonsmetoden for den.

- c) Bruk kurvebladet og likningen til å finne den spesifikke verdien av n for denne dioden.
- d) Finn den utrykket til den dynamiske motstanden r_D , ut i fra Ebers Moll likning.
- e) I figuren under. Finn V_{o1} og V_{o2} , samt alle strømmer som går gjennom komponentene.
Bruk diodedropp.



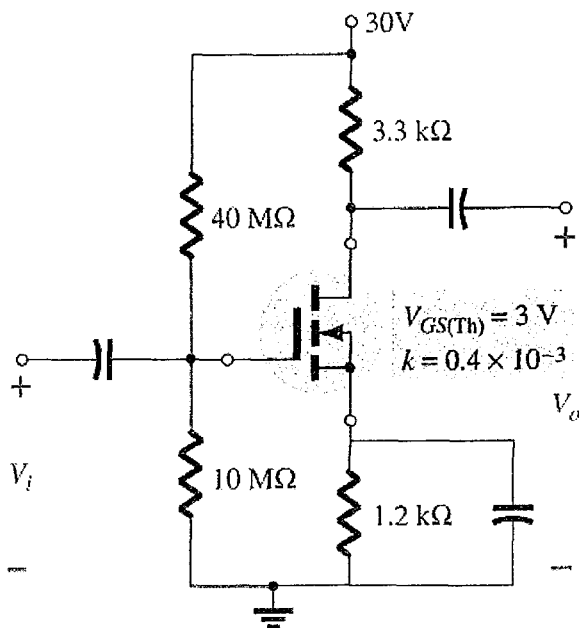
f) I kretsen under finn V_L og alle strømmene når $R_L = 180 \Omega$.



g) Hva om $R_L = 470 \Omega$. Finn V_L og alle strømmene.

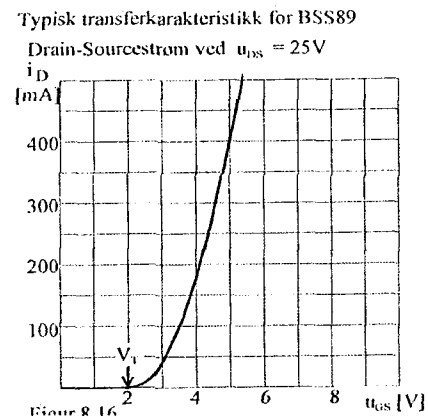
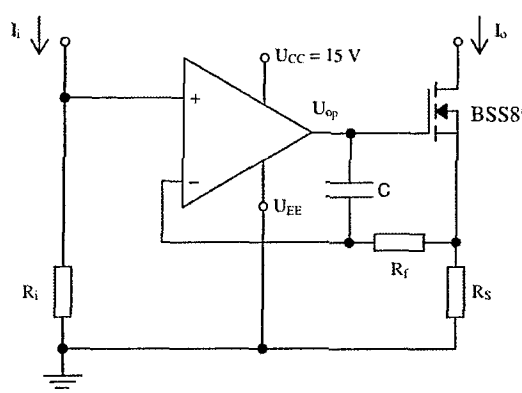
OPPGAVE -3

- Hvilke egenskaper har kretsen under og hvilken type transistor er benyttet.
- Finn V_{GSQ} når $I_{SQ} = 1 \text{ mA}$.



- Finn forsterkningen til kretsen.
- Finn inngangsimpedansen til kretsen.
- Hvordan kan man enkelt øke kretsens inngangsimpedans til over $20 \text{ M}\Omega$ uten å påvirke kretsen ellers?

Koplingen under benytter ideell operasjonsforsterker og en E-MOSFET av type BSS89
Man ønsker at $I_o = 200 \text{ mA}$ ved $I_i = 100 \text{ mA}$. (LIKESTRØM)



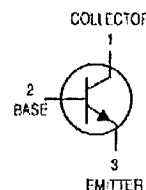
- f) Finn utrykket for I_o som en funksjon av I_i og motstandene (Kun to).
- g) Hva slags funksjon har denne kretsen.
- h) Beregn R_i når $R_s = 17 \Omega$.
- i) Hva blir spenningen over gate-source?
- j) Hvis utgangen av OpAmpen legges til halvparten av driftsspenningen. Hva blir verdien av R_s for at $I_o = 200 \text{ mA}$ som før?

Vedlegg -1

MOTOROLA
SEMICONDUCTOR TECHNICAL DATA

Order this document
by BC546/D

Amplifier Transistors
NPN Silicon



**BC546, B
BC547, A, B, C
BC548, A, B, C**



CASE 29-04, STYLE 17
TO-92 (TO-226AA)

MAXIMUM RATINGS

Rating	Symbol	BC 546	BC 547	BC 548	Unit
Collector-Emitter Voltage	V_{CEO}	65	45	30	Vdc
Collector-Base Voltage	V_{CBO}	80	50	30	Vdc
Emitter-Base Voltage	V_{EBO}	6.0		Vdc	
Collector Current — Continuous	I_C	100		mAdc	
Total Device Dissipation @ $T_A = 25^\circ\text{C}$ Derate above 25°C	P_D	625 5.0		mW mW/ $^\circ\text{C}$	
Total Device Dissipation @ $T_C = 25^\circ\text{C}$ Derate above 25°C	P_D	1.5 12		Watt mW/ $^\circ\text{C}$	
Operating and Storage Junction Temperature Range	T_J, T_{Stg}	-55 to +150		$^\circ\text{C}$	

THERMAL CHARACTERISTICS

Characteristic	Symbol	Max	Unit
Thermal Resistance, Junction to Ambient	R_{JJA}	200	$^\circ\text{C}/\text{W}$
Thermal Resistance, Junction to Case	R_{JJC}	63.3	$^\circ\text{C}/\text{W}$

ELECTRICAL CHARACTERISTICS ($T_A = 25^\circ\text{C}$ unless otherwise noted)

Characteristic	Symbol	Min	Typ	Max	Unit
OFF CHARACTERISTICS					
Collector-Emitter Breakdown Voltage ($I_C = 1.0 \text{ mA}, I_B = 0$)	$V_{(BR)CEO}$	65 45 30	— — —	— — —	V
Collector-Base Breakdown Voltage ($I_C = 100 \mu\text{A}$)	$V_{(BR)CBO}$	60 50 30	— — —	— — —	V
Emitter-Base Breakdown Voltage ($I_E = 10 \mu\text{A}, I_C = 0$)	$V_{(BR)EBO}$	6.0 6.0 6.0	— — —	— — —	V
Collector Cutoff Current ($V_{CE} = 70 \text{ V}, V_{BE} = 0$) ($V_{CE} = 50 \text{ V}, V_{BE} = 0$) ($V_{CE} = 35 \text{ V}, V_{BE} = 0$) ($V_{CE} = 30 \text{ V}, T_A = 125^\circ\text{C}$)	I_{CES}	— — — —	0.2 0.2 0.2 —	15 15 15 4.0	nA μA

REV 1

© Motorola, Inc 1995

 **MOTOROLA**

Vedlegg - 2

BC546, B BC547, A, B, C BC548, A, B, C

ELECTRICAL CHARACTERISTICS ($T_A = 25^\circ\text{C}$ unless otherwise noted) (Continued)

Characteristic	Symbol	Min	Typ	Max	Unit
ON CHARACTERISTICS					
DC Current Gain ($I_C = 10 \mu\text{A}, V_{CE} = 5.0 \text{ V}$) ($I_C = 2.0 \text{ mA}, V_{CE} = 5.0 \text{ V}$) ($I_C = 100 \text{ mA}, V_{CE} = 5.0 \text{ V}$)	h_{FE}	— — —	90 150 270	— — —	— — —
BC546 BC547 BC548 BC547A/548A BC546B/547B/548B BC547C/BC548C		110 110 110 110 200 420	— — — 180 290 520	450 800 800 220 450 800	
BC547A/548A BC546B/547B/548B BC548C		— — —	120 180 300	— — —	
Collector-Emitter Saturation Voltage ($I_C = 10 \text{ mA}, I_B = 0.5 \text{ mA}$) ($I_C = 100 \text{ mA}, I_B = 5.0 \text{ mA}$) ($I_C = 10 \text{ mA}, I_B = \text{See Note 1}$)	$V_{CE(\text{sat})}$	— — —	0.09 0.2 0.3	0.25 0.6 0.6	V
Base-Emitter Saturation Voltage ($I_C = 10 \text{ mA}, I_B = 0.5 \text{ mA}$)	$V_{BE(\text{sat})}$	—	0.7	—	V
Base-Emitter On Voltage ($I_C = 2.0 \text{ mA}, V_{CE} = 5.0 \text{ V}$) ($I_C = 10 \text{ mA}, V_{CE} = 5.0 \text{ V}$)	$V_{BE(\text{on})}$	0.55 —	— —	0.7 0.77	V
SMALL-SIGNAL CHARACTERISTICS					
Current-Gain — Bandwidth Product ($I_C = 10 \text{ mA}, V_{CE} = 5.0 \text{ V}, f = 100 \text{ MHz}$)	f_T	150 150 150	300 300 300	— — —	MHz
Output Capacitance ($V_{CB} = 10 \text{ V}, I_C = 0, f = 1.0 \text{ MHz}$)	C_{obo}	—	1.7	4.5	pF
Input Capacitance ($V_{EB} = 0.5 \text{ V}, I_C = 0, f = 1.0 \text{ MHz}$)	C_{ibo}	—	10	—	pF
Small-Signal Current Gain ($I_C = 2.0 \text{ mA}, V_{CE} = 5.0 \text{ V}, f = 1.0 \text{ kHz}$)	h_{fe}	125 125 125 240 450	— — 220 330 600	500 900 260 500 900	—
Noise Figure ($I_C = 0.2 \text{ mA}, V_{CE} = 5.0 \text{ V}, R_S = 2 \text{ k}\Omega, f = 1.0 \text{ kHz}, \Delta f = 200 \text{ Hz}$)	NF	— — —	2.0 2.0 2.0	10 10 10	dB

Note 1: I_B is value for which $I_C = 11 \text{ mA}$ at $V_{CE} = 1.0 \text{ V}$.

Vedlegg - 3

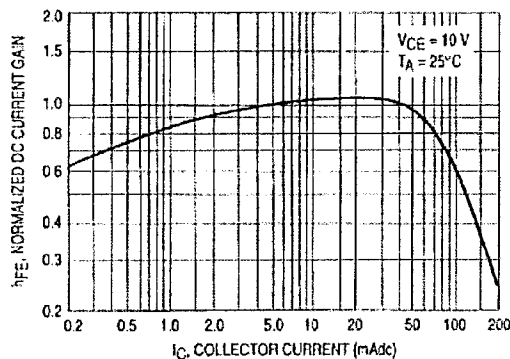


Figure 1. Normalized DC Current Gain

BC546, B BC547, A, B, C BC548, A, B, C

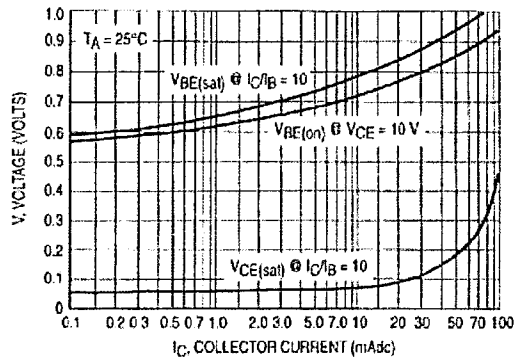


Figure 2. "Saturation" and "On" Voltages

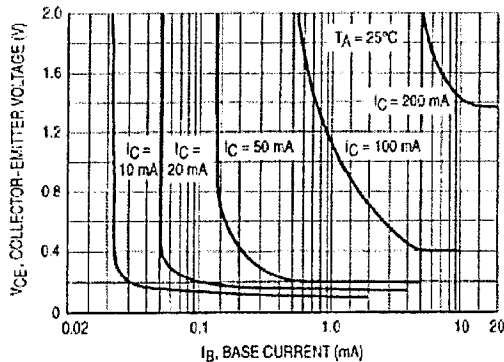


Figure 3. Collector Saturation Region

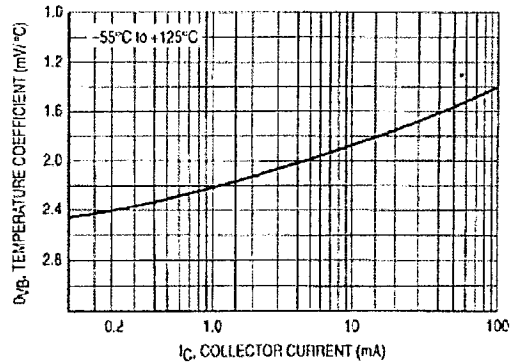


Figure 4. Base-Emitter Temperature Coefficient

BC547/BC548

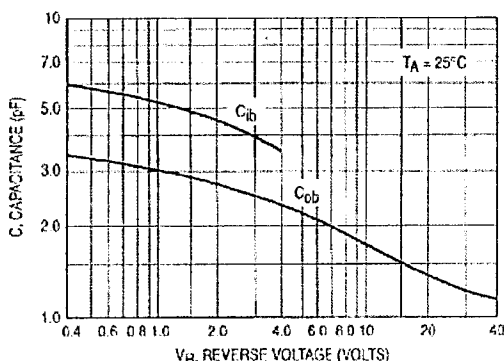


Figure 5. Capacitances

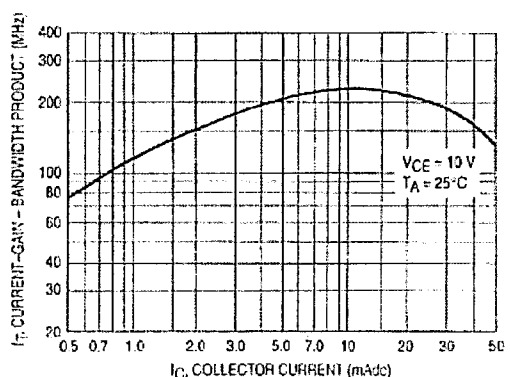


Figure 6. Current-Gain – Bandwidth Product

Vedlegg - 4

Philips Semiconductors

Product specification

N-channel enhancement mode
vertical D-MOS transistor

BSS89

LIMITING VALUES

In accordance with the Absolute Maximum Rating System (IEC 134).

SYMBOL	PARAMETER	CONDITIONS	MIN.	MAX.	UNIT
V_{DS}	drain-source voltage (DC)		-	200	V
V_{GSO}	gate-source voltage (DC)	open drain	-	± 20	V
I_D	drain current (DC)		-	300	mA
I_{DM}	peak drain current		-	1.2	A
P_{tot}	total power dissipation	$T_{amb} \leq 25^\circ\text{C}$; note 1	-	1	W
T_{stg}	storage temperature		-55	+150	$^\circ\text{C}$
T_j	junction temperature		-	150	$^\circ\text{C}$

THERMAL CHARACTERISTICS

SYMBOL	PARAMETER	CONDITIONS	VALUE	UNIT
$R_{th j-a}$	thermal resistance from junction to ambient	note 1	125	K/W

Note to the Limiting values and Thermal characteristics

1. Device mounted on a printed-circuit board, maximum lead length 4 mm; mounting pad for drain lead minimum 10×10 mm.

CHARACTERISTICS

$T_j = 25^\circ\text{C}$ unless otherwise specified.

SYMBOL	PARAMETER	CONDITIONS	MIN.	TYP.	MAX.	UNIT
$V_{(BR)DSS}$	drain-source breakdown voltage	$V_{GS} = 0$; $I_D = 250 \mu\text{A}$	200	-	-	V
V_{GSth}	gate-source threshold voltage	$V_{DS} = V_{GS}$; $I_D = 1 \text{ mA}$	0.8	-	2.8	V
I_{DSS}	drain-source leakage current	$V_{DS} = 60 \text{ V}$; $V_{GS} = 0$	-	-	200	nA
		$V_{DS} = 200 \text{ V}$; $V_{GS} = 0$	-	0.1	60	μA
I_{GSS}	gate leakage current	$V_{DS} = 0$; $V_{GS} = \pm 20 \text{ V}$	-	-	± 100	nA
R_{DSon}	drain-source on-state resistance	$V_{GS} = 10 \text{ V}$; $I_D = 400 \text{ mA}$	-	4.5	6	Ω
$ y_{fs} $	forward transfer admittance	$I_D = 400 \text{ mA}$; $V_{DS} = 25 \text{ V}$	140	350	-	mS
C_{iss}	input capacitance	$V_{DS} = 25 \text{ V}$; $V_{GS} = 0$; $f = 1 \text{ MHz}$	-	45	-	pF
C_{oss}	output capacitance	$V_{DS} = 25 \text{ V}$; $V_{GS} = 0$; $f = 1 \text{ MHz}$	-	15	-	pF
C_{rss}	reverse transfer capacitance	$V_{DS} = 25 \text{ V}$; $V_{GS} = 0$; $f = 1 \text{ MHz}$	-	3.5	-	pF
Switching times (see Figs 2 and 3)						
t_{on}	turn-on time	$V_{GS} = 0$ to 10 V ; $V_{DD} = 50 \text{ V}$; $I_D = 250 \text{ mA}$	-	5	-	ns
t_{off}	turn-off time	$V_{GS} = 10$ to 0 V ; $V_{DD} = 50 \text{ V}$; $I_D = 250 \text{ mA}$	-	15	-	ns

Vedlegg - 5

Generelle laplacetransformasjoner:

	Tidsfunksjon	Laplacetransform
1	$u(t)$	$U(s)$
2	$k_1 \cdot u_1(t) + k_2 \cdot u_2(t)$	$k_1 \cdot U_1(s) + k_2 \cdot U_2(s)$
3	$u'(t)$	$sF(s) + f(0)$
4	$\int_0^t u(\tau) d\tau$	$\frac{1}{s} U(s)$
5	Sprang med høyde U_0 (pulsflanke)	$\frac{U_0}{s}$
Sluttverditeoremet: $\lim_{s \rightarrow 0} sF(s) = \lim_{t \rightarrow \infty} f(t)$		

Noen konkrete sprang(puls)responser når sprang(puls)høyden er U_0 :

(Du finner mange flere varianter i en matematisk tabell)

	Transferfunksjon $H_A(s)$	Respons på sprang(puls) med høyde U_0
Lavpass (RC)	$\frac{K}{s\tau + 1} \quad \tau = RC$	$u(t) = KU_0(1 - e^{-t/\tau})$
Høypass (RC)	$K \frac{s\tau}{s\tau + 1} \quad \tau = RC$	$u(t) = KU_0 e^{-t/\tau}$
Integrator (C)	K/s	$u(t) = K \cdot U_0 \cdot t$
Lav og Høypass (RC)	$\frac{K(s\tau_1 + 1)}{(s\tau_2 + 1)} \quad \tau_1 = R_1 C, \tau_2 = R_2 C$	$u(t) = KU_0(1 + \frac{\tau_1 - \tau_2}{\tau_2} e^{-t/\tau_2})$
Lavpass (RLC), VCVS	$\frac{K}{((\frac{s}{2\pi f_0})^2 + (\frac{s}{2\pi f_0}) \frac{1}{Q} + 1)}$	$u(t) = KU_0 \left(1 - \frac{2Qe^{-\pi f_0 t / Q}}{\sqrt{4Q^2 - 1}} \cos(\sqrt{4Q^2 - 1} \pi f_0 t / Q - \varphi) \right)$ $\varphi = \text{Arcsin} \zeta \quad \text{når } Q \geq \frac{1}{2}$

Sammenhengen mellom frekvensrespons $A(f)$ og transferfunksjonen $H_A(s)$ for en krets:
Bytt ut laplacevariabelen s i transferfunksjonen $H_A(s)$ med $2\pi jf$ og ta modulus (absoluttverdi):
$$A(f) = |H_A(2\pi jf)|.$$